

$k = 0$, где не было отмечено резкого изменения аэродинамических характеристик, как в плоской теории [4]. При $\beta = 60^\circ$ отличие результатов значительно, особенно в области небольших чисел Струхалия ($k \sim 0,5$), а с увеличением числа Струхалия влияние пространственности течения уменьшается.

Значения коэффициентов суммарной силы и силы в среднем сечении в рассмотренных примерах практически совпадают.

Поступила 19 VIII 1978

ЛИТЕРАТУРА

1. Ветчинкин В. П., Поляхов Н. Н. Теория и расчет воздушного гребного винта. М., Оборонгиз, 1940.
2. Белоцерковский С. М., Скрипач Б. К. Аэродинамические производные летательного аппарата и крыла при дозвуковых скоростях. М., «Наука», 1975.
3. Самойлович Г. С. Нестационарное обтекание и аэроупругие колебания решеток турбомашин. М., «Наука», 1969.
4. Горелов Д. Н., Курзин В. Б., Сарен В. Э. Аэродинамика решеток в нестационарном потоке. Новосибирск, «Наука», 1971.
5. Salaün P. Pressions aérodynamiques instationnaires sur une grille annulaire en écoulement subsonique. Publ. ONERA, 1974, N 158.
6. Namba M. Lifting surface theory for unsteady flows in a rotating annular cascade. Symposium IUTAM on aeroelasticity in turbomachines. Papis, R. F. M., 1976, N spécial.
7. Рябченко В. П. Расчет пространственного обтекания лопаточного венца осевой турбомашины потенциальным потоком несжимаемой жидкости. — ПМТФ, 1979, № 2.

УДК 533.6.011.533.697

НЕСТАЦИОНАРНОЕ ИСТЕЧЕНИЕ ГАЗА В ВАКУУМ ЧЕРЕЗ ПОЛУПРОНИЦАЕМЫЙ ЭКРАН

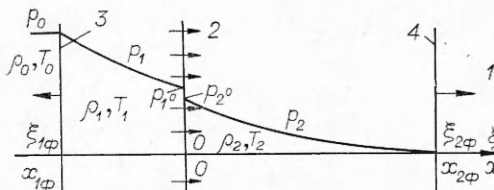
Г. И. Ганноченко

(Москва)

Методом теории подобия и размерностей решена задача о распределении параметров газа в волне разрежения при нестационарном истечении газа в вакуум через экран, обладающий гидродинамическим сопротивлением и отбирающий часть энергии газа.

Пусть плоскость $x = 0$ (фиг. 1) отделяет левое полупространство $x < 0$, заполненное идеальным газом с параметрами ρ_0, p_0, T_0 и уравнением состояния $p = \rho T$, от правого полупространства — вакуума $x > 0$.

В некоторый момент времени через расположенный в этой плоскости бесконечно тонкий экран 2, обладающий гидродинамическим сопротивлением и отбирающий часть энергии потока, начинается истечение газа в вакуум. Влево от экрана (по невозмущенному газу) распространяется фронт волны разрежения 3, вправо — граница расширяющегося газа 4. Параметры течения в волне разрежения слева от плоскости $x=0$ имеют индекс 1, справа от этой плоскости — индекс 2.



Фиг. 1

Будем полагать, что удельный расход газа через экран зависит от перепада давления на экране следующим образом:

$$q = \alpha(p_{10} - p_{20}),$$

где p_{10} , p_{20} — давление газа на плоскости $x = 0$ слева и справа от экрана; α — коэффициент проницаемости экрана.

Уравнения газовой динамики для плоского одномерного нестационарного течения записываются в виде [1]

$$(1) \quad \frac{\partial \rho}{\partial t} + v \frac{\partial \rho}{\partial x} + \rho \frac{\partial v}{\partial x} = 0, \quad \frac{\partial v}{\partial t} + v \frac{\partial v}{\partial x} + \frac{T}{\rho} \frac{\partial \rho}{\partial x} + \frac{\partial T}{\partial x} = 0, \quad \frac{\partial T}{\partial t} + v \frac{\partial T}{\partial x} + (\gamma - 1) T \frac{\partial v}{\partial x} = 0,$$

где $\rho(x, t)$, $v(x, t)$ и $T(x, t)$ — плотность, скорость и температура газа.

Параметрами, определяющими процесс истечения, будут плотность и температура невозмущенного газа ρ_0 , кг/м³, T_0 , м²/с², и коэффициент проницаемости экрана α , с/м, два из которых (ρ_0 и T_0) имеют независимую размерность (размерность α может быть выражена из размерности T_0). В связи с этим рассматриваемая задача относится к классу автомодельных задач [2] с одной независимой переменной

$$(2) \quad \xi = x/T_0^{1/2}t.$$

Распределения плотностей, скоростей и температур будем искать в функциях этой переменной

$$(3) \quad \rho = \rho_0 f(\xi), \quad v = T_0^{1/2} \varphi(\xi), \quad T = T_0 \psi(\xi).$$

Подстановкой (3) с учетом (2) можно перейти от системы уравнений (1) к системе обыкновенных дифференциальных уравнений

$$(4) \quad (\varphi - \xi) \frac{d \ln f}{d\xi} + \frac{d\varphi}{d\xi} = 0, \quad (\varphi - \xi) \frac{d\varphi}{d\xi} + \frac{d\psi}{d\xi} + \psi \frac{d \ln f}{d\xi} = 0, \quad (\varphi - \xi) \frac{d\psi}{d\xi} + (\gamma - 1) \psi \frac{d\varphi}{d\xi} = 0.$$

Выразив $d \ln f / d\xi$ из первого уравнения системы (4), $d\psi / d\xi$ из третьего и подставив во второе, можно получить уравнение

$$\frac{d\varphi}{d\xi} [(\varphi - \xi)^2 - \gamma \psi] = 0,$$

нетривиальным решением которого является

$$(5) \quad \psi = \frac{1}{\gamma} (\varphi - \xi)^2.$$

Подстановка (5) в систему (4) позволяет определить все неизвестные функции:

$$(6) \quad f(\xi) = B \left(A - \frac{\gamma - 1}{\gamma + 1} \xi \right)^{\frac{2}{\gamma - 1}}, \quad \varphi(\xi) = \frac{2}{\gamma + 1} \xi + A, \\ \psi(\xi) = \frac{1}{\gamma} \left(A - \xi \frac{\gamma - 1}{\gamma + 1} \right)^2$$

где A и B — константы интегрирования, определяемые граничными условиями в левом и правом полупространствах.

Рассмотрим вначале течение в левом полупространстве:

$$x_{1\Phi} \leq x \leq 0, \quad x_{1\Phi} = \xi_{1\Phi} T_0^{1/2} t,$$

где $x_{1\Phi}$ — координата фронта волны разрежения; $\xi_{1\Phi}$ — константа фронта, также определяемая из граничных условий.

На фронте волны разрежения $x = x_{1\Phi}$, $\xi = \xi_{1\Phi}$ плотность и температура газа достигают значений, соответствующих параметрам невозмущенного газа:

$$\rho(x_{1\Phi}, t) = \rho_0, \quad T(x_{1\Phi}, t) = T_0.$$

При этом скорость газа равна нулю

$$v(x_{1\Phi}, t) = 0.$$

Следовательно, учитывая (6), имеем следующие граничные условия для левого полупространства:

$$(7) \quad \frac{2}{\gamma+1} \xi_{1\Phi} + A_1 = 0, \quad \frac{1}{\gamma} \left(A_1 - \frac{\gamma-1}{\gamma+1} \xi_{1\Phi} \right)^2 = 1,$$

$$B_1 \left(A_1 - \frac{\gamma-1}{\gamma+1} \xi_{1\Phi} \right)^{\frac{2}{\gamma-1}} = 1.$$

Решая систему (7), получаем значения неизвестных констант

$$(8) \quad \xi_{1\Phi} = -\gamma^{1/2}, \quad A_1 = \frac{2\gamma^{1/2}}{\gamma+1}, \quad B_1 = \gamma^{-\frac{1}{\gamma-1}}.$$

Таким образом, с учетом (3), (5) и (8) искомые безразмерные распределения плотности, скорости и температуры для левого полупространства получаются из (6) путем подстановки констант A_1 и B_1 (8).

Теперь можно определить давление газа слева от экрана ($x = 0$, $\xi = 0$)

$$(9) \quad p_{10} = (\rho_1 T_1)|_{x=0} = \rho_0 T_0 \left(\frac{2}{\gamma+1} \right)^{\frac{2\gamma}{\gamma-1}}$$

и расход газа через экран

$$(10) \quad q = (\rho_1 v_1)|_{x=0} = \rho_0 T_0^{1/2} \gamma^{1/2} \left(\frac{2}{\gamma+1} \right)^{\frac{\gamma+1}{\gamma-1}}.$$

Рассмотрим течение газа в правом полупространстве

$$0 \leq x \leq x_{2\Phi} = \xi_{2\Phi} T_0^{1/2} t,$$

где $x_{2\Phi}$ — координата границы распространения газа; $\xi_{2\Phi}$ — константа этой границы. При $x = x_{2\Phi}$ плотность и температура газа равны нулю. Следовательно, учитывая (6), имеем

$$(11) \quad A_2 - \frac{\gamma-1}{\gamma+1} \xi_{2\Phi} = 0.$$

Расход газа через экран

$$(12) \quad q = (\rho_2 v_2)|_{x=0} = \rho_0 T_0^{1/2} B_2 A_2^{\frac{\gamma+1}{\gamma-1}}.$$

По закону сохранения массы (10) и (12) должны быть равны, откуда следует

$$(13) \quad B_2 A_2^{\frac{\gamma+1}{\gamma-1}} = \gamma^{1/2} \left(\frac{2}{\gamma+1} \right)^{\frac{\gamma+1}{\gamma-1}}.$$

Давление газа справа от экрана

$$p_{20} = p_{10} - q/\alpha.$$

Следовательно, с учетом (9) имеем

$$(14) \quad B_2 A_2^{\frac{2\gamma}{\gamma-1}} = \gamma \left(\frac{2}{\gamma+1} \right)^{\frac{2\gamma}{\gamma-1}} - \frac{\gamma^{3/2}}{\alpha T_0^{1/2}} \left(\frac{2}{\gamma+1} \right)^{\frac{\gamma+1}{\gamma-1}}.$$

Таким образом, неизвестные константы A_2 , B_2 и $\xi_{2\Phi}$ могут быть определены из граничных условий (11), (13) и (14)

$$(15) \quad A_2 = \gamma^{1/2} \left(\frac{2}{\gamma+1} \right) - \frac{\gamma}{\alpha T_0^{1/2}} \left(\frac{\gamma+1}{\gamma-1} \right), \quad B_2 = \frac{\gamma^{1/2} \left(\frac{2}{\gamma+1} \right)^{\frac{\gamma+1}{\gamma-1}}}{\left[\gamma^{1/2} \left(\frac{2}{\gamma+1} \right) - \frac{\gamma}{\alpha T_0^{1/2}} \right]^{\frac{\gamma+1}{\gamma-1}}},$$

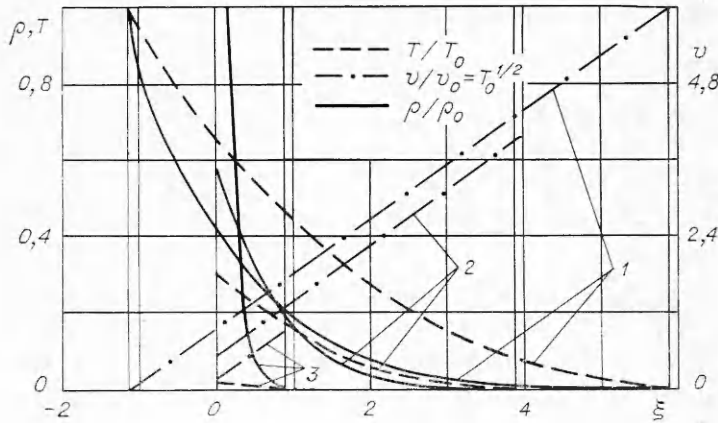
$$\xi_{2\Phi} = \frac{2\gamma^{1/2}}{\gamma-1} - \frac{\gamma}{\alpha T_0^{1/2}} \left(\frac{\gamma+1}{\gamma-1} \right).$$

Искомые распределения безразмерных плотностей, скоростей и температур получаем путем подстановки A_2 и B_2 (15) в (6).

Окончательно распределения плотностей, скоростей и температур газа можно представить в виде

$$\left. \begin{aligned} \rho &= \rho_0 \gamma^{-\frac{1}{\gamma-1}} \left(\frac{2\gamma^{1/2}}{\gamma+1} - \frac{\gamma-1}{\gamma+1} \xi \right)^{\frac{2}{\gamma-1}}, \\ v &= T_0^{1/2} \left(\frac{2}{\gamma+1} \xi + \frac{2\gamma^{1/2}}{\gamma+1} \right), \\ T &= T_0 \frac{1}{\gamma} \left(\frac{2\gamma^{1/2}}{\gamma+1} - \frac{\gamma-1}{\gamma+1} \xi \right)^2, \end{aligned} \right\} -\gamma^{1/2} \leq \xi \leq 0,$$

$$\left. \begin{aligned} \rho &= \rho_0 \frac{\gamma^{1/2} \left(\frac{2}{\gamma+1} \right)^{\frac{\gamma+1}{\gamma-1}}}{\left(\gamma^{1/2} \frac{2}{\gamma+1} - \frac{\gamma}{\alpha T_0^{1/2}} \right)^{\frac{\gamma+1}{\gamma-1}}} \times \\ &\times \left(\frac{2\gamma^{1/2}}{\gamma+1} - \frac{\gamma}{\alpha T_0^{1/2}} + \frac{\gamma-1}{\gamma+1} \xi \right)^{\frac{2}{\gamma-1}}, \\ v &= T_0^{1/2} \left(\frac{2}{\gamma+1} \xi + \frac{2\gamma^{1/2}}{\gamma+1} - \frac{\gamma}{\alpha T_0^{1/2}} \right), \\ T &= T_0 \frac{1}{\gamma} \left(\gamma^{1/2} \frac{2}{\gamma+1} - \frac{\gamma}{\alpha T_0^{1/2}} + \frac{\gamma-1}{\gamma+1} \xi \right)^2, \end{aligned} \right\} 0 \leq \xi \leq \frac{2\gamma^{1/2}}{\gamma+1} - \frac{\gamma(\gamma+1)}{\alpha T_0^{1/2}(\gamma-1)}.$$



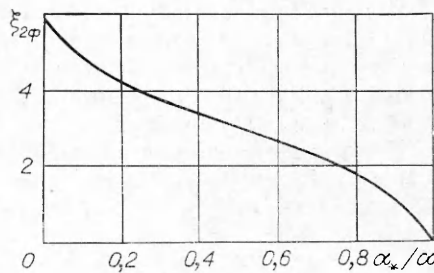
Ф и г. 2

Распределения основных параметров течения для $\gamma = 1,4$ и различных значений гидродинамического сопротивления $\Delta p = p_{10} - p_{20}$ и энергии, отбираемой экраном:

$$\Delta w = \rho_{10} v_{10} \left(\frac{v_{10}^2}{2} + \gamma \frac{T_{10}}{\gamma - 1} \right) - \rho_{20} v_{20} \left(\frac{v_{20}^2}{2} + \gamma \frac{T_{20}}{\gamma - 1} \right),$$

отнесенные к значениям параметров невозмущенного потока p_0 и w_0 , представлены на фиг. 2 (1 — $\alpha = \infty$, $\Delta w = \Delta p = 0$; 2 — $\alpha = 3\alpha_*$, $\Delta w/w_0 = 0,38$, $\Delta p/p_0 = 0,1$; 3 — $\alpha = 1,16\alpha_*$, $\Delta w/w_0 = 0,96$, $\Delta p/p_0 = 0,24$).

Как видно из фиг. 2, при $\Delta p/p_0 = 0$ и $\Delta w/w_0 = 0$, что соответствует полной проницаемости экрана ($\alpha = \infty$), течение газа имеет характер обычной центрированной волны разрежения [1]. Уменьшение α (увеличение Δp и Δw) влечет за собой уменьшение температуры, скорости и константы фронта $\xi_{2\phi}$ газа справа от экрана и увеличение его плотности. При некотором предельном значении $\alpha_* = (\gamma + 1) \gamma^{1/2} / 2 T_0^{1/2}$, $\Delta w/w_0 = 1$



Ф и г. 3

вся энергия газа поглощается экраном. При этом скорость, температура и константа фронта газа, проходящего через экран, равны нулю, плотность газа стремится к бесконечности, т. е. весь газ остается на экране.

Отметим, что изменение α не влияет на течение в левом полупространстве, так как на плоскости $x = 0$ газ имеет скорость, равную местной скорости звука, и возмущения от экрана могут распространяться только в область правого полупространства.

Скорость движения фронта

$$\frac{dx_{\phi}}{dt} = \frac{d}{dt} (\xi_{\phi} \tau_0^{1/2} t) = \xi_{\phi} T_0^{1/2}$$

определяется величиной константы фронта ξ_{ϕ} . На фиг. 3 представлена зависимость константы границы газа, расширяющегося в вакуум $\xi_{2\phi}$, от параметра α_*/α .

Скорость фронта волны разрежения равна скорости звука в невозмущенном газе:

$$\xi_{1\phi} T_0^{1/2} = (\gamma T_0)^{1/2}.$$

Автор выражает благодарность К. Б. Павлову за полезное обсуждение результатов.

Поступила 3 VII 1978

ЛИТЕРАТУРА

1. Станюкович К. П. Неустановившиеся движения сплошной среды. М., «Наука», 1971.
2. Седов Л. И. Механика сплошной среды. Т. 1. М., «Наука», 1976.

УДК 539.21

ТЕМПЕРАТУРЫ УДАРНОГО СЖАТИЯ ИОННЫХ КРИСТАЛЛОВ

В. А. Жданов, В. В. Поляков

(Томск)

В работах [1, 2] был проведен беспараметрический расчет ударных адиабат ионных кристаллов в фазах В1 и В2. Полученные зависимости $p_H = p_H(V)$ дают возможность рассчитать температуру ударного сжатия T_H для рассмотренных кристаллов в обеих фазах и исследовать влияние фазового перехода В1 → В2 на кривые $T_H = T_H(p_H)$.

Беря энергию тепловых колебаний в виде $C_V T$ с постоянной теплоемкостью C_V и записывая внутреннюю энергию с помощью уравнения ударной адиабаты, получаем для температуры ударного сжатия [3]

$$(1) \quad T_H = \left[\frac{1}{2} p_H(V)(V_0 - V) + E_0 - E_x(V) \right] / C_V,$$

где $E_x(V)$ — энергия решетки при температуре абсолютного нуля; E_0 и V_0 — энергия и объем свободного кристалла при комнатной температуре. В табл. 1 приведены результаты расчета по формуле (1) температур T_H для кристаллов LiF, NaF, NaCl, KCl, KBr в фазах В1 и В2. При расчете температур для решеток В1 в качестве $p_H(V)$ и $E_x(V)$ использовались функции, определенные в [1, 2] без привлечения экспериментальных данных, величины E_0 и V_0 определялись по минимуму энергий $E_x(V)$. Температуры ударного сжатия для решеток В2 рассчитывались по формуле (1), в которой значения $p_H(V)$ и $E_x(V)$ брались из [1, 2] для фазы В2, а начальные характеристики E_0 и V_0 относились к фазе В1, соответствующей свободному кристаллу.

Результаты расчета температур T_H для NaCl и KCl представлены на фигуре, где видно, что в случае NaCl вплоть до 600 кбар наблюдается хорошее согласие кривой $T_H = T_H(p_H)$ фазы В1 с экспериментальными значениями температур, измеренными в [4] (точки 1, 2 — данные из [4]). При давлении около 600 кбар происходит плавление NaCl, что вызывает